

테이프캐스팅을 이용한 대면적(100 cm^2) 연료극 지지체식 평판형 고체산화물 연료전지의 개발

Development of anode supported planar SOFC with large area by tape casting

송락현, 유승호, 송근숙, 김종희, 백동현, 정두환, 신동열,
한국에너지기술연구원

1. 서 론

고체산화물 연료전지(Solid oxide fuel cell : SOFC)는 연료기체가 소유하고 있는 화학에너지를 전기화학반응에 의해 직접 전기에너ジ로 변화시키는 에너지 변환 장치이다. 고체산화물 연료전지의 특성은 인산형 및 용융탄산염형 연료전지 등 다른 연료전지에 비해 효율이 높고 공해가 적으며, 연료개질기가 필요없고 복합발전이 가능하다[1]. 그러나 작동온도가 고온($1000\text{ }^\circ\text{C}$)이어서 연결재 및 구성요소가 고가이고 제작등 문제점을 가지고 있다[2,3]. 이런 문제의 해결을 위해 저항이 적은 얇은 전해질 막을 가지는 지지체식 연료전지의 개발이 이루어지고 있고, 얇고 치밀한 전해질 제조를 위한 박막제조공법에 대한 연구가 많이 이루어지고 있다[4]. 또한 기공률이 높고 전기전도도가 우수한 지지체 제작에도 많이 연구가 이루어지고 있다[5].

본 연구에서는 연료극 지지체식 평판형 고체산화물 연료전지의 연료극 지지체를 테이프캐스팅 법을 이용하여 제작하고, 슬러리 디핑법을 이용한 전해질 및 공기극을 코팅 제조하였으며 그 특성 및 성능평가를 하였다.

2. 실험방법

연료극으로 사용한 Ni-YSZ cermet은 NiO(Jumsei)와 8 mol.% YSZ(Y_2O_3 -stabilized-ZrO₂, MEL) powder를 혼합 볼밀링(Ball milling) 후 건조 분쇄하고 $550\text{ }^\circ\text{C}$ 에서 3시간 열처리 하여 1차 분말을 제조하였다. 기공형성제로 활성탄(Kurary)을 35 vol.%되게 혼합하여 다시 균일하게 혼합한 후 건조 분쇄하였다. 제조된 Ni-cermet YSZ 연료극 분말과 바인더로 PVB(polyvinyl butyral)를 12 wet.% 혼합하고 Plasticizer인 DBP(Dibutyl phthalate)와 Homogenizer인 Triton-X(polyethylene glycol mono-p-isotylphenyl ethan), dispersant인 Fish oil, 그리고 용매인 톨루엔과 2-propanol 각각 정량하여 24시간 동안 볼 밀링을 하여 슬러리를 제조하였다. 제조된 슬러리에서 용매를 증발시켜 점도를 조절한 후 Dr. blade를 사용하여 캐스팅하였고, 실온에서 건조시킨 후 건조된 기판을 $1300\text{ }^\circ\text{C}$ 에서 공소결하여 기판을 제조하였다. 제조된 기판은 건조시 휘어짐 때문에 다시 $1300\text{ }^\circ\text{C}$ 에서 800 lb/cm^2 의 하중을 주어 편평화 작업을 하여 주었다.

세라믹 전해질로서 YSZ 분말을 사용하여 20 wet. % 의 전해질과 10 wet. %의 제조하여 슬러리 디핑법을 이용하여 코팅 제조하였다. 연료극 지지체에 제조된 전해질 슬러리를 3회 코팅하고 $1400\text{ }^\circ\text{C}$ 소결하여 전해질을 제조하였다. 공기극의 제조는 전해질과 동일한 방법으로 슬러리를 제조하여 LSM-YSZ, LSM($\text{La}_{0.85}\text{Sr}_{0.15}$)_{0.9} MnO_3 , LSCF($\text{La}_{0.6}\text{Sr}_{0.4}\text{Co}_{0.2}\text{Fe}_{0.8}\text{O}_3$)의 다

충코팅을 하였고, 1200 °C에서 소결하여 제조하였다.

지지체의 미세구조와 온도별 전기전도도, 기공률 및 개스투파률을 측정하였고, 전해질의 미세조직 분석 및 가스투파률을 측정하였다. 또한 제조된 단전지로서 성능평가를 하였다.

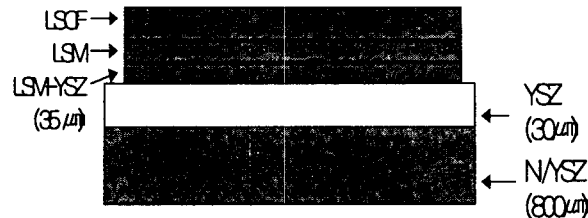


그림 1. 제작된 단전지의 구조

3. 실험결과

그림 2는 테입케스팅 법에 의해 제작된 SEM(Scanning electron Microscope, Philips)으로 조사된 연료극 지지체의 미세구조다. (a)는 환원전이며 (b)는 환원 후의 그림이다. SEM 사진에서 보는거와 같이 많은 기공을 가지고 있음을 알 수 있다. 환원처리후 각형의 NiO에서 구형의 Ni 변하였는데 NiO가 Ni로 환원될 때 산소가 빠져나가면서 더 많은 기공이 형성됨을 예상할 수 있다. 그러나 Ni의 입성장은 Ni의 연결성을 끊고 전극 반응 면적을 감소시켜 전기전도성을 유지하지 못하므로 지지체의 Ni과 YSZ가 망복구조를 이루어 Ni의 입성장을 제어하는 것은 매우 중요하다.

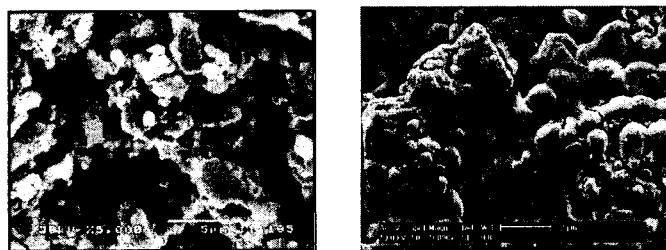


그림 2. 12%로 바인더 첨가된 Ni/YSZ 기판의 환원 전(a)과 후(b)의 미세구조

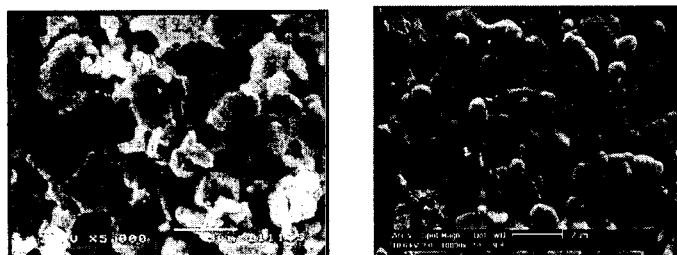


그림 4 13%로 바인더 첨가된 Ni/YSZ 기판의 환원 전(a) 후(b)의 미세구조

전극 성능에 큰 영향을 미치는 기공률을 12 %와 13 % 바인더를 사용하여 제작된 지지체를 환원 전, 후를 각각 측정하여 보았다. 표 1은 Porosimeter(Autopore IV, Micrometrics)를 통해 측정된 기공률과 기공의 부피 및 면적 등을 나타내었다. 연료극 지지체관의 기공은 활성탄과 첨가제를 제거하는 열처리 및 환원처리 과정에서 형성된다. 이론적으로 Ni/YSZ cermet 연료극 지지체관의 Ni 함량이 40 vol.%인 경우 NiO가 Ni로 환원될 때 연료극 지지체관의 크기가 변하지 않는다면 산소가 빠져나가면서 연료극 지지체관의 기공률은 약 15 % 증가한다. 1400 °C에서 최종 소결된 연료극 지지체관의 기공률은 12% 바인더를 사용한 지지체의 경우 45.8 % 였고 13% 바인더를 사용한 경우의 지지체는 42.5 %의 기공률을 나타내었다. 수소분위기에서 환원된 지지체는 12 %인 경우 53.9 %로 8.1 % 증가하였고 13 %의 경우 48.9 %로 6.4 % 증가하였다. 기공률이 이론적이 값보다 적었으나 환원함에 따라 가가 증가하였다. 따라서 지지체의 제작과정에서의 어려움인 지지체의 건조시 휘어짐같은 문제점에 있어서 12 %를 사용한 지지체가 우수하였고, 또한 기공률에 있어서도 12 % 지지체가 우수함을 알 수 있었다.

표 1. 지지체의 기공 파라미터

		Porosity (%)	Pore Area (m ² /g)	Intrusion Volume (mL/g)	Average Pore Diameter (μm)
12 %	환원전	45.8	2.617	0.1241	0.1897
	환원후	53.9	1.652	0.1573	0.3807
13 %	환원전	42.5	1.815	0.1156	0.2547
	환원후	48.9	0.801	0.1436	0.7172

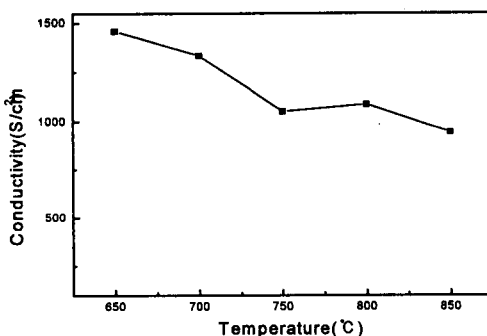


그림 3. 12% 첨가된 바인더 기판의 전기전도도

12% 바인더를 사용하여 제조된 지지체를 직류 4단자법을 사용하여 전기전도도를 측정하였다. 그림 5는 고체산화물 연료전지 작동 조건하인 650 °C에서 850 °C 범위에서 온도에 따른 전기전도도를 측정한 결과이다. 그림 3에 보여지는 거와 같이 650 °C에서 약 1500 S/cm² 정

도의 높은 전기전도도를 보였다. 측정온도가 높아질수록 전기전도도는 점차적인 감소 경향을 보였는데 이것은 온도 상승에 따른 연료극의 전자전도 행로로 작용하는 Ni-cermet의 저항 값이 커지는 것에 의한 것이다. 850 °C에서 900 S/cm² 정도로 전기전도도 값이 낮아지기는 하였지만 역시 높은 값을 보였다.

4 point 방법을 이용한 강도측정에서 지지체의 강도는 29.89 MPa의 값을 나타내었다. 지지체의 강도는 45 % 정도의 기공률에 의해 다공질을 형성하고 있어 다소 약한 결과를 나타나를 것으로 예상된다. 그러나 환원히 지지체의 금속성이 늘어나 연성이 증가하는 경향을 보였다. 0.2mm/min 가압속도로서 측정하였다.

표 2 지지체의 강도비교

	환원전	환원전
지지체 원통관	26.24 MPa (두께 1.17, 폭 : 2.89,)	29.06 MPa (두께 : 1.24, 폭 : 1.80,)
지지체 평판형	18.9 MPa (두께 : 1.67 폭 : 2.73)	-

그림 6은 1300 °C에서 가소결된 연료극 지지체 위에 전해질인 20 wet. % YSZ 슬러리를 디핑법으로 코팅한 지지체의 SEM 사진이다. 1회 코팅시의 두께는 약 10 μm 정도로 얇은 전해질층을 형성하였으나, 치밀하지 못하였다. 그러나 3회 코팅시 표면은 1회에 비해 치밀한 전해질층을 형성하였으나 두께는 약 30 μm로 두꺼워졌다. 1회 코팅시 약 10 μm정도의 전해질이 코팅되어진다.

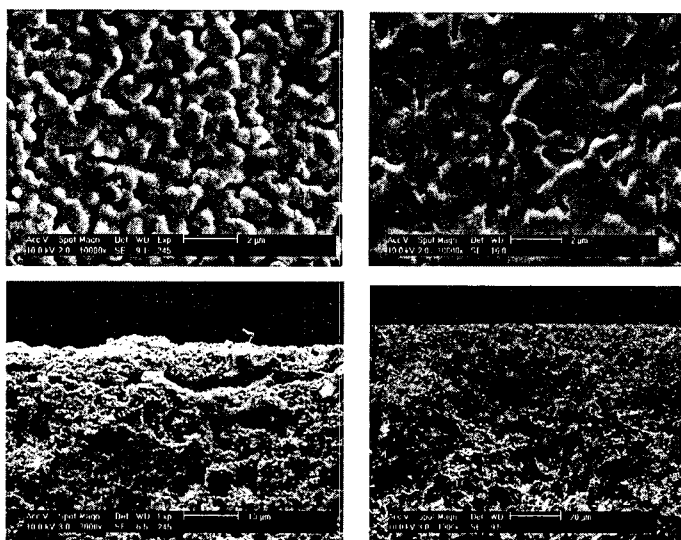


그림 6. 20 wet. % 슬러리가 1회(좌), 3회(우) 코팅된 전해질의 표면(위)과 단면(아래)

그림 7은 10 wet. % 슬러리를 3회 코팅한 전지지체 원통관해질층의 표면과 단면 SEM 사진이다. 3회 코팅된 20 wet. % 슬러리 전해질층보다 더 치밀한 전해질층이 형성되었음을 알 수 있다. 또한 두께도 10 μm 이하의 얇은 전해질층을 이루고 있다.

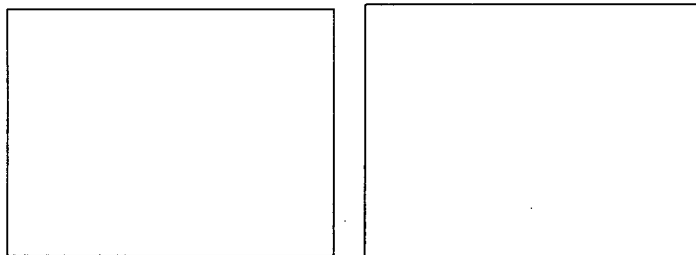


그림 7. 10 wet. % 슬러리가 3회 코팅된 전해질의 표면(좌)과 단면(우)

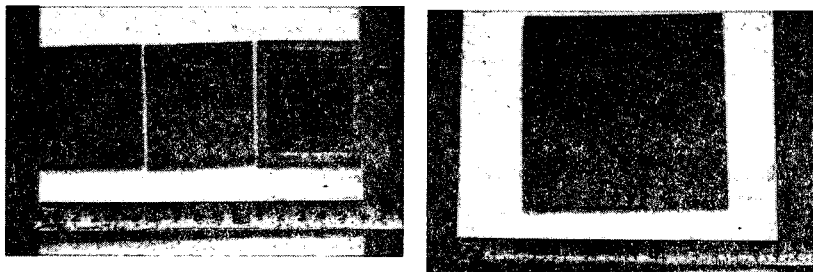


그림 8. 제작된 지지체, 전해질, 공기극 (5x5, 좌) 와 지지체 (10x10, 우)

면적 25 cm^2 의 연료극 지지체위에 전해질 및 공기극을 형성하여 유효면적 15 cm^2 를 갖는 단전지를 제작하였다. 단전지의 구성에 있어 단전지 폴더는 인코넬을 사용하였고, 전류의 집전을 위해 전극과 폴더사이에 연료극에는 Ni felt를 공기극에는 백금망을 사용하였고, 접촉상태를 좋게 하기 위해 백금 paste를 사용하였다. 그림 9은 650 - 850 $^\circ\text{C}$ 에서 연료극 지지체식 고체산화물 연료전지의 성능특성을 나타내고 있다. 650 $^\circ\text{C}$ 에서 단전지의 개회로전압은 1.075 V로 이론개회로 전압인 1.105 V와 근사치를 나타내었고, 850 $^\circ\text{C}$ 때 0.5 V에서 650 mA의 전력밀도를 나타내었다. 온도가 감소함에 따라 단전지의 활성과전압이 크게 나타나므로 성능이 감소하는 현상을 볼 수 있었고 이러한 성능저하를 위해서 전해질 및 공기극 등의 단전지 구성요소의 개선이 필수적이다.

성능시험 후 단전지의 파괴현상은 관찰되지 않았으나 반응기체의 밀봉부분에서 국부적인 파열로 인한 공기극의 손상이 발견되었다.

그림 10은 단전지의 임피던스 측정 결과이다. 온도가 증가함에 따라 cell 내부저항이 크게 감소하였고, 850 $^\circ\text{C}$ 에서 약 0.1 Ω 의 낮은 저항값을 나타내었다.

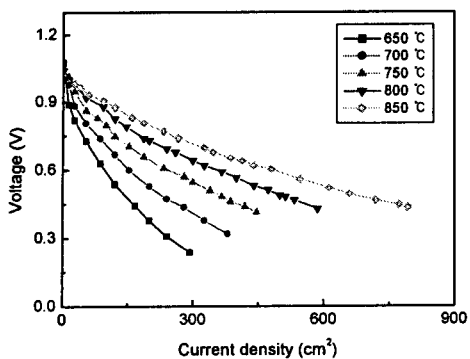


그림 9. 온도에 따른 성능특성

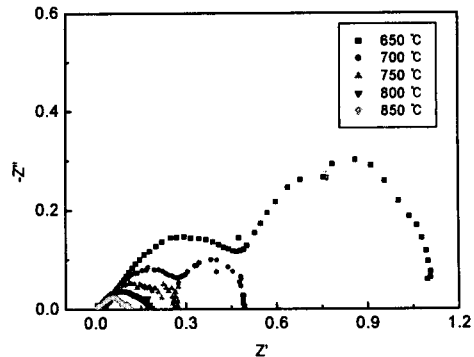


그림 9. 온도별 impedance 곡선

5. 결론

본 연구에서 테일캐스팅법을 이용하여 700 - 1000 μm 정도의 평판형 지지체를 제조 하였고, 제조된 지지체는 45.8 %, 53.9 % 환원 전후의 기공률을 가지며, 650 °C와 850 °C에서 약 1500 s/cm와 약 1000 s/cm의 전기전도도를 가졌다. 전해질의 제조에 있어서 슬러리의 농도를 조정하여 10 μm , 30 μm 의 치밀한 전해질을 제조하였다. 제조된 단전지는 850 °C에서 0.5 V 650 mA의 성능을 나타내었다.

참고문헌

- [1] N. Q. Minh, and Takehiko, *Science and Technology of Ceramic Fuel Cell*, Elsevier Science(1995).
- [2] T. Iwata, *J. Electrochem. Soc.* **143**[5], 1521-1525(1996).
- [3] T. C. Hsiao. and J. R. Selman, *Solid State Ionics*, **98**, 38-38(1997).
- [4] C. Wang, W. L. Worrell, S. D. Park, J. M. Vohs, and R. J. Gorte, *J. Electrochem. Soc.* **148**[8] A864-A868(2001)
- [5] D. Simwonis, H. Thülen, F. J. Dias, A. Naoumidis D. stöver, *J. Mater. Process. Tech.* **92-93**, 107-111(1999).